

中国通信学会图象通信委员会

1986年学术年会

论 文 集

一九八六年九月于青岛

一 图象处理

1. 利用人眼视觉特性的边缘肺图光强度增强
南邮 望厚杰 首剑英
编工组 李里义
2. 基于轮廓抽出的一种新方法
南邮 梁晓霞
3. 下采样和升采样的新算法
南邮 楼宏玉
4. 一种图象空域复原的算法
南邮 姜 倍
5. 基于四叉树表示的图象数据的无失真压缩
清华大学 陈婉英 方永明
6. 基于灰度水平的有边维运动的图象配准方法——特征方向配准法(DDFA)
上海 谢光耀 顾福军
交大 余松壁
7. 基于大编码图象重建的算法
南大 黄伟 何振亚
8. 光学图象的系统提取
苏械理
9. 国防 王绍霖
- 科大 康晓林
10. IBM PC 机上的图象采集和处理系统
上海计算技术研究所 焦志平
11. 开发基于 Unix 类操作系统的实时图象采集系统
中科院上海生理研究所 胡其蔚 陈昌安 陈俊强
12. 数字图象处理中的边缘检测方法
华中工 孙习之 柳健
- 学院 万发贵
13. 数字地理信息系统总体设计研究
华中工学院 李 弼
14. 图象的符号表示方法
国防科大 王绍霖
- 国防科大 王绍霖
15. 利用结构信息处理混合像元提高遥感图象的精度
华中工学院 文 颖
16. 多层结构计算机视觉系统
华中工学院 罗宇华
17. 从单视点图象提取物体表面法线的一种新方法
南大 邓开华
南京大学 望厚杰
东南大学 郭敬昇

18. 平面区域的规范线性四叉树表示及操作
华中工学院 黄焯勤
19. 印染花型 CAD 技术
上海交大 顾建华 宋继明
戚飞虎 王江
20. 微型计算机提花织物图案处理系统
上海纺大 吴时光 孙嘉
薛震民
21. 提取光津图象参数的一种新方法
国防科大 高广珠
22. 角部纹理参数的提取
华中工学院 刘武
23. 遥感图象信息保持型压缩编码
北大 杜荣魁 章良立
王维奇 徐立波
24. 一种图象压缩的数据压缩方法
国防科大 徐学清
欧阳郢
25. 陆地卫星数字图象几何校正的一种方法
北京工大 郭景海
学院 柳健
华中工学院 彭道员

二、二值图象、传真 图象通信

1. 一种二值图象复原的方法
上海科大 吕英
2. 行消隐前肩文字广播信号的分析
上海交大 顾福年
3. 传真机的 DES 体制加密系统
南邮 余兆明
南邮 郑树海
南京通信兵 仲肇宇
工程学院
4. 用于数据压缩的 Huffman 码及编译码实现
上海 宋国文
5. 工程电视的图象传输质量评价
华东师大 顾龙翔
胡晓燕
宋海楼

6. 虚拟空间多点电视会议系统方案	南邮 陈祖林
7. 文档图像2值化再生的一种方案	上海科大 孙山东
8. 北京图文检索(Videotex)实验系统 数据库的功能设计	北京邮 施育政 龙楚伟 科院 周起林 陈红
9. 在电视文字广播系统中恢复取样时钟的新方案	广西大学 刘耀宇
10. 传真报纸统计特性的一些研究	北邮 张萍
11. 传真相关的图像处理	上海交 国源华 余松耀 叶寒碧 廖飞虎
12. 在普通纸上实现多层次记录的方法	广西长安通 魏大新 信设备厂 柳能高
13. 用算术码对传真报纸信源进行编码压缩	北邮 张萍 张大庆
14. 矢量化在可视电话压缩编码应用中的研究	北邮 张家谋 龙耀平
15. 上海地铁图像通信系统方案简介	上海地铁 陈凤敬 公司
16. 单带彩色图像通信系统的实现	南京江事 王陈锦 无线电厂 单斌 方洪

三. 图象编码

1. DMA 法的 TV 接口	南邮 王绍麟
2. 一种实时的多幅图象平滑方法	南工 富煜 清明伟
3. 矢量化用于图象编码研究的近期发展	清华大学 龚卫东
4. 一类二维随机图象模型	电子部三十一研究所 黄永峰 孙 陈永春

3. 从预测环路的幅频响应分析帧内DPCM电视
编码的预测性能 湖大 周峰, 魏庆林
6. 彩色图像存储器的设计和应用 天科 戴井刚
三所
7. 图象统计特性变化对压缩编码系统
性能稳定性的影响 航天工业部 北邮
502所 王琳华 金奇一
8. PAL-MAC-PAL传输时信噪比的计算 北邮 董旭, 金子一
9. 有取样函数的应用 大大 郭春田
11. PAL制彩色电视分量数据采集和存储 南工 童文 华国光
12. 利用前场预测均方误差的帧内4DPCM
编码方法 清华 陈婉英
慕平港
13. 电视图象信号的微处理机自适应校正 北邮, 大庆, 沈阳煤
14. TV信号的运动(或变化)补偿编码 北大 张志杰, 金东满
15. 教学图象条纹检测——极值判别方法 南航, 贾宋良, 王厚根

利津' 眼视觉特性的X线坐标图及自适应增强

南京邮电学院 毕厚杰 肖剑英 穆士娟 李卫义

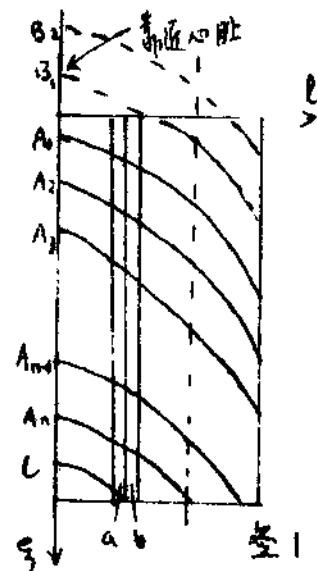
摘要 本文提出了用统计方法进行曲线拟合和外推来预测肺部边缘的动态，对提高肺部边缘病理科信息和区域病人眼视觉检测的要求自觉地调整图象中有效交叠窗口的大小，使之与人的视觉相适应，以达到肺部区域定位的目的。

尘肺是我国目前严重威胁人民身体健康的一种职业病，但由于尘肺病灶形态多变，且与纵隔、肺纹理等似接壤，诊断复杂，故早期诊断率长期较低。广大医务人员迫切要求革新传统电子设备来改善诊断条件，提高诊断率。本设计的这部件已能完成用机内机时图像进行肺部边缘检测，但在由专科医生根据肺部病灶的高对比度信息进行诊断。本课题的主要工作有：一、设计了X线胸片中任意位置肺部而自动识别肺部边缘；二、将肺部吸气状态的有效交叠多次（即肺部在各区的层次）检测人眼视觉特性的需求，自适应地调整到0~255灰度层上，使人群更多更好地看到复杂的肺部病灶的细节，从而提高医生的尘肺确诊率。

一、肺部肺部肺部的自动检测

从医生共识，尘肺和肺癌可指征息肉存在于X线胸片肺野外边缘中无肺部区域。所以我们在如图1所示的肺野外边缘中无肺部区域，进行处理，输入至图2所示的192×192的窗到实际上在图上肺部区域的肺部被识别，而靠近肺野外缘的空洞一般比较模糊、干枯、疏松，故我们首先改善左侧的肺部的提取，进而再外推右侧肺部，其算法如下：

先以左列在将每5列作为一个像素，对于相邻点 x_i, y_i ， x_{i+1}, y_{i+1} 及其上点之差的灰度值分别为 x_1, y_1 ， x_2, y_2 ，



曲率半径的十值曲线，设置一正负峰值（肋骨上、下边界），正峰代表肋骨的上边界点，负峰则为下边界点，本文提出一种正负峰值选择的规律，如下：

a) 在十值曲线上，从左到右，对于每一个点，预测其十值是否同时满足于左右两边的十值及0，是则作为边界点的候选点；否则弃之；继续预测下一点。

b) 该候选点是否有足够的相邻同号十值点，有时继续作为候选点，否弃之。

c) 若某点十值符合(a)(b)的要求，则需看该点十值是否与第一个输出的候选点十值相同与否，若不同号，则前一个候选点便成为已确定的第一个肋骨边界点。而在通过了候选点的验证后继续预测，若有矛盾时，则需看那一点十值绝对值大，弃去十值绝对值小的候选点，大的继续作为候选点。

d) 对难以直接得到的边界点，又由医学知识知道各肋骨宽度基本相等，各肋骨间隙宽度以上列丁按以下增大来识别

这样测到点A，B，C各边位置。由这些点加上前面已得各肋条间肋骨相对转动角度数，我们便可借助最小二项差法，以抛物线的左侧肋骨边界进行外推合。对于靠近肺野外侧的肋骨边界，利用左侧已得到的肋骨边界上点建立作为基础，并利用已知在肺野边界上肋骨曲率的特征而无穷大条件，作抛物线外推。

二、利用人眼视觉特性自适应增强各象限的生理和方法。

人眼视觉分辨力可用韦伯比曲率系数表示，
如设 δ ， $\Delta B/B$ 韦伯比或叫视觉阙限值或
Fechner 公式，曲率最弱点一般为 0.02。

设备家中某一直感极光的亮度为 B_0 ，
其相邻亮度 $x+x$ 与它的亮度差为 ΔB ，则

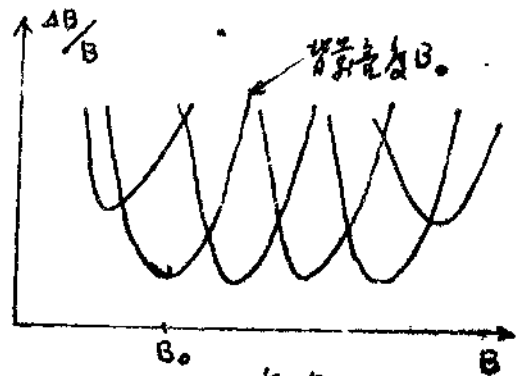
$$\Delta B/x = f(x, B_0, \delta^2) \quad \dots \dots (1)$$

式中 δ^2 为决定曲线弯曲程度的参数。

采用 β 分布曲线近似代替(1)式，统计

学中 β 分布曲线其一般形式为： $f(x) = \frac{1}{\beta(\alpha+1, \lambda+1)} X^\alpha (1-X)^\lambda \dots \dots (2)$

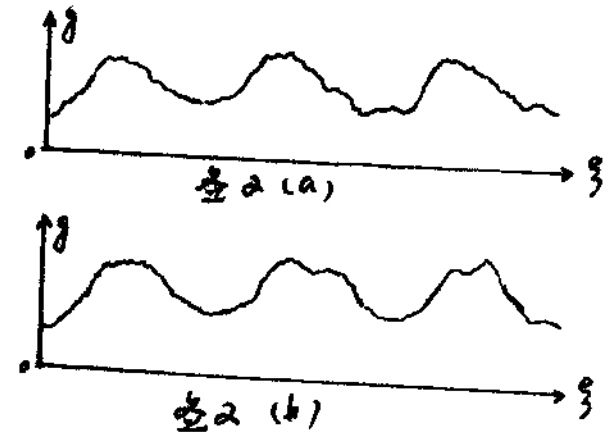
式中 $\beta(\alpha+1, \lambda+1)$ 是 β 函数。 X 在 $[0, 1]$ 范围内，而 β 分布在 $[0, 1]$ 范围内，



3. 其中 \$x_{ij}\$ 表示第 \$i\$ 例第 \$j\$ 例由组织素从左到右的列数。分别在 \$a, b\$ 两组上作每要素组织素灰度平均，即可得到列如：二者的平均灰度值如表 2 所示，其中，\$g\$ 为列数，\$y\$ 为组织素灰度值之和。从图上可看出，该组织素与肋骨模式基革相同，但是 \$(b)\$ 比 \$(a)\$ 稍有左移，这说明肋骨从左侧向右下移动是一致的，我们再将组织素向上翻转了 \$90^\circ\$，得 \$a, b\$ 的统计分布。

$$\sum_s = \sum_s \sum_{j=1}^s |x_{ij} + s_j - y_{ij}|$$

$$A = \sum_{s+1} - \sum_s \quad s=1, 2, 3, \dots$$



若 \$\sum_{s+1} = \min_s \sum_s\$，则 \$s+1\$ 便认为是 \$a, b\$ 两组素间肋骨相对移动的度量数。实验测得：当 \$A > M \times 100\$ 时 (\$M\$ 为要素的灰度数)，则 \$s+1 = S\$ 便是 \$a, b\$ 两组素间肋骨相对移动的度量数。类似地，我们引出沿肋骨左侧各组织素与肋骨向下移动量，这便称得式子以判肋骨倾斜的基革数。至此，若将 \$2(b)\$ 曲线与移动量 \$S\$ 相量，那么凹凸形状便与 \$2(a)\$ 曲线基革一致，将此时横曲线下底相对增加，便得到一凹凸更加平滑、肋骨倾斜度更加集中的曲线，如图 3(c)所示。然后对图 3(d)采用七种方法来判定其肋骨的边界。滑动 \$t\$ 的情况如下：

$$t_y = (\bar{x}_y - \bar{y}_y) / S_y$$

这样：

$$S_y^2 = (\sum x_{yi}^2 - n\bar{x}_y^2 + \sum_{j=1}^n x_{yj} - n\bar{y}_y^2) / n(n-1)$$

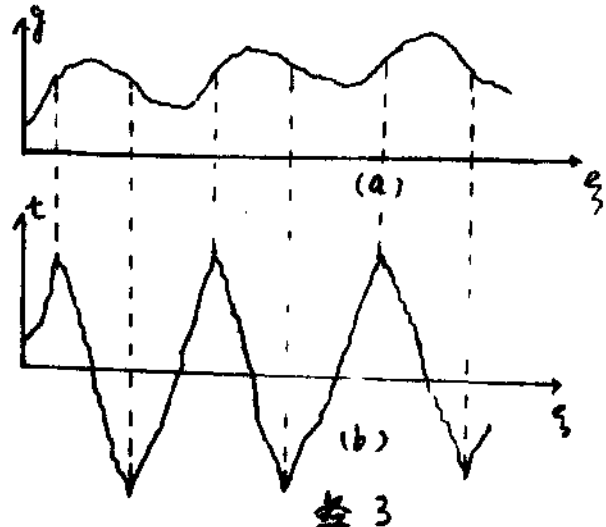
$$\bar{x}_y = (x_{y1} + x_{y2} + \dots + x_{yn}) / n$$

$$\bar{y}_y = (y_{y1} + y_{y2} + \dots + y_{yn}) / n$$

\$x_{y1}, \dots, y_{y1}\$ 为第 \$y=1\$ 左边 \$n\$ 个要素的灰度值

\$x_{y2}, \dots, y_{y2}\$ 为第 \$y=2\$ 左边 \$n\$ 个要素的灰度值

且 \$n=50\$，得肋骨位置 \$t\$ 如下。



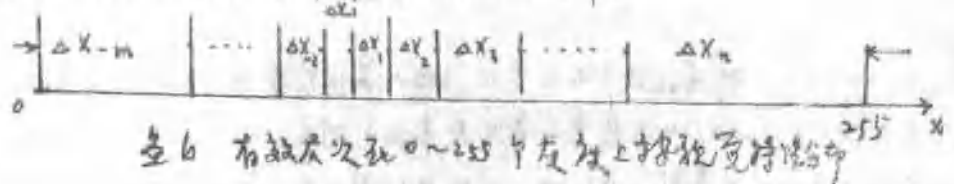
将 x 的代入 B 中表达式，有 $\Delta X = C_1 f(\omega, \lambda, \frac{x}{255}) = C_1 (\frac{x}{255})^{\alpha} (1 - \frac{x}{255})^{\beta} \dots \dots (3)$ 。

C_1 是候在近最小值为 0.02。由(3)式可知各层次之间的亮度相差成为

$$\Delta X = C_1 x (\frac{x}{255})^{\alpha} (1 - \frac{x}{255})^{\beta} = C_1 (\frac{x}{255})^{\alpha} (1 - \frac{x}{255})^{\beta} \dots \dots (4)$$

我们由 B 不难确定。实验中 观察 α, β 取值对像素增强的影响，选取 $\alpha = -2.2$, $\beta = 4.1$ ，根据机房的光线条件，适当调整像素亮度，使背景间隙的细节达到最清晰，便可以为此时已将整个背景亮度调至 255 而且最端正（即 $B = R_s$ 处）。

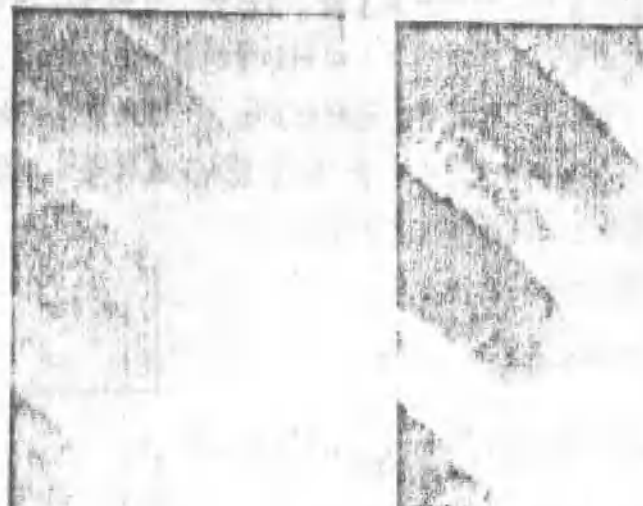
由于两处理图像的有效层次不同；为保证都用幅值范围上，以利观察，我们各自适应地调整(4)式中心而大小以达到目的。各层次的分布即间隔画出在图 b 中。



山实施增厚的叠片，而有明显的效果，又不会导致尘肺病理较假息的失真，已得到有关医生，专家认识。为了与瓦斯与增压瓦片之对比，实施了利用人眼视觉特性全部降低灰尘浓度假息，其效果是显著的。

主要参考文献：

- [1] 李玉麟，“抓紧立法，控制矽肺病的发展” 劳动保护 1984, NO.8 P.10.
- [2] Peter, De. Souza, "Edge Detection Using Sliding Statistical Test" Computer graphics and Image Processing 23, No.4 (1983).



(a) 壁虎

(b)

小如壁虎

轮廓抽出的一种新方法

南京邮电学院

張順頤

图象的轮廓抽出，或称之为界线检测，主要是检测图象中灰度级或者检测图象结构具有或多或少突变的地方。轮廓抽出通常采用的方法有：微分法；最好吻合法；最小误差法；结构界线检测法等。^[1] 这些方法的共同点，都要计算图象的微分值以分析图象的灰度过渡在某点是否有迅速变化。以此来判定该点是否为界线。因此，这些方法计算量大、耗时长，并且轮廓的精度不便控制。

笔者最近采用“双门限”法，可很方便地进行轮廓的检测和抽出。它的优点是，运算简单、节省时间、图象轮廓的精度在一定范围内可以控制。

一 基本原理

通常的图象处理、应用摄影机或传真机等设备将图象输入计算机时，希望其点扩散函数 PSF (Point Spread Function) 要尽量小，以便供图象能不失真地送入计算机。^[2]

以图 1 (a) 的输入信号为例，设其为一二维的黑白图象信号，经通常的图象输入设备后，其信号大体成为图 1 (b) 的形状。此时，若经图中单点划线所示电压幅值的门限检测电路，则二值化后的输出数字图象信号为图 1 (c) 的形状；反之，若经图中双点划线所示电压幅值的门限检测电路，则二值化后的输出数字图象信号为图 1 (d)。这样，所得到的图象数字信号，实际为同一图象经不同的门限电路所得到的两幅数字图象。

本研究中，积极利用立行展函数，配以具有不同阈值的二个门限检测阈值鉴别电路，即可应用计算机，将图象经输入系统及两个相值鉴别电路，然后输入电子计算机内，再经简单逻辑，即可以判出图象之轮廓，在屏幕上显示；或由打印机

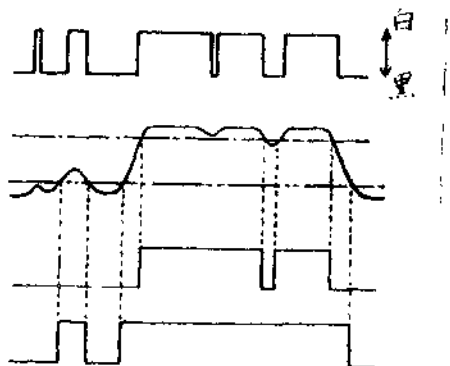


图1. 图象信号的传输时变

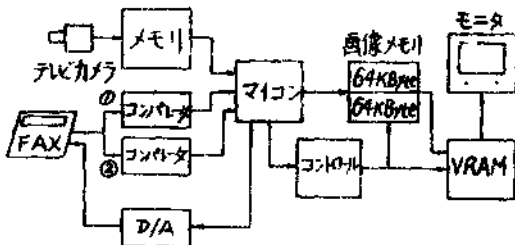


图2. 系统结构框图

输出。

二、系统结构

图2为本试验的系统结构框图。本系统由图象输入设备—电视摄像机、传真机(NEF-2000)，送检及控制用微型计算机PC-8000，时序电路、一个阈值鉴别电路(阈值可调)、128Kbyte的图象存储器(对应 512×1024 象素的图象两幅)，图象监视器和图象监视器用32K存储器。本系统采用的传真机为G1型，故传真机输出的是模拟信号，经阈值鉴别电路形成数字信号送入计算机。

三、传真机的应答特性

因点扩展函数PSF在本研究中起着关键作用，故对传真机的输入、输出应答特性进行仔细的测定，其方法是在白纸上绘出宽为 $0.1\text{ mm} - 8\text{ mm}$ 的黑色线条，以及在黑底上绘出宽为 $0.1\text{ mm} - 8\text{ mm}$ 的白色线条，将各种宽度的黑、白线条，以垂直于传真机扫描方向输入本系统，在每次输入时，选择阈值电压，依次在 $5.5\text{ V} - 8\text{ V}$ 之间，取一定值，然后由计算机统计对于某一阈值电压下，存入计算机、图象存储器中各种宽度黑、白色线条所对应的比特数，由此，可绘出如图3、4所示的本试验中传真机的应答特性。(图3为白底黑线条图，图4为黑底白线条图)。对于同一阈值电压，各输入三次(白、黑色线条)，取其三次宽度比特数之平均值。

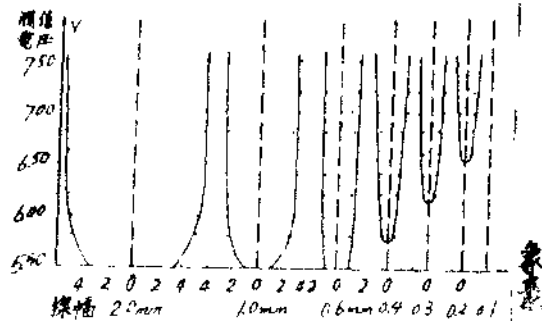


图3 传真机应答特性曲线
之-1(白底黑线)

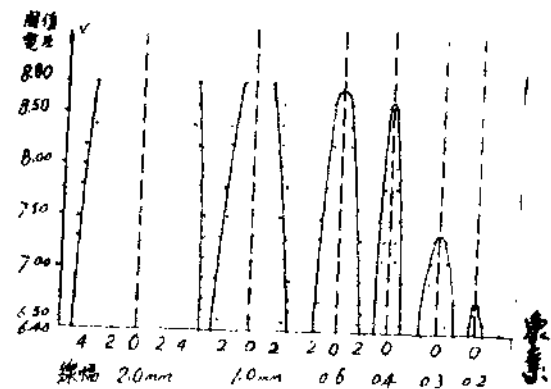


图4 传真机应答特性曲线
之=2(黑底白线)

由图3、4可分析：对于同样的输入信号（相同宽度之黑、白线条），经传真机输入计算机，其信号的宽度（以象素的二进数表示），是不同的。它与阈值电压有关，亦即是该电压的一个函数：

$$B = f(w, v) \quad (bit)$$

式中， B 为对于于某一阈值电压下，某种密度 w 的线条，在计算机中的存储信号的比特数。^[3]

以白底上绘的黑色线条为例，线幅为 2.00 mm 的线条信号，经阈值电压为 6.5 V 的门槛电压，由传真机输入时，所产生数字图象的宽度为 8 bit ，而当将阈值电压调为 7.0 V 时，同样宽度的线条，所产生数字图象的宽度为 10 bit 。

四、轮廓抽出的方法：

综上所述，当一幅图象经两个阈值电压不同的鉴别电路，同时生成两幅数字图象时，这两幅数字图象的各个像素，不是完全一样的，即在图象的黑白交界处——轮廓部分，有若干 bit （如 $1-2\text{ bit}$ ）的差异。如能将该差异从图象中分离出来，则图象的轮廓即可抽出。

轮廓抽出的方法如下：若将由上述方法所得之两幅数字图象存入寄存器内，然

后，根据两幅数字图像中各地址 (x_1, y_1) 和 (x_2, y_2) 相同的像素进行并或运算，即

$$f(x, y) = f(x_1, y_1) \oplus f(x_2, y_2)$$

于是所生成的新图象子 (x, y) 即为仅取出 $f(x_1, y_1)$ 和 $f(x_2, y_2)$ 两数字图象之轮廓部份，而实现其轮廓抽出。

图 5 为实验结果。⑴为输入之原画象，⑵、⑶为采用本方法所得之轮廓抽出结果。⑵于⑶之区别是采用了不同的阈值电压，故其抽出之轮廓宽度略有差异。这里先是采用传真机输出画象（热转写方式），再经缩微，制版，复印，故输出画象质量不为理想，实际效果要较好。

五、讨论

对于本研究的讨论，且用如下的心理描述：

1. 根据本研究的方法进行轮廓抽出时，对于不同的阈值电压的选择，轮廓抽出结果可在一定范围内改变其宽度。
以图 5 为例：图 5 (b) 为两个阈值电压分别为 6.60V 和 7.60V 所得之结果；图 5 (c) 为两个阈值电压分别为 5.80V 和 7.60V 所得之结果。由图象输出之结果，可见图 c 中轮廓之宽度较图 b 中轮廓之宽度为宽。由计算机计算之结果，图 c 之轮廓抽取比图 b 之轮廓宽 1 bit (1 比

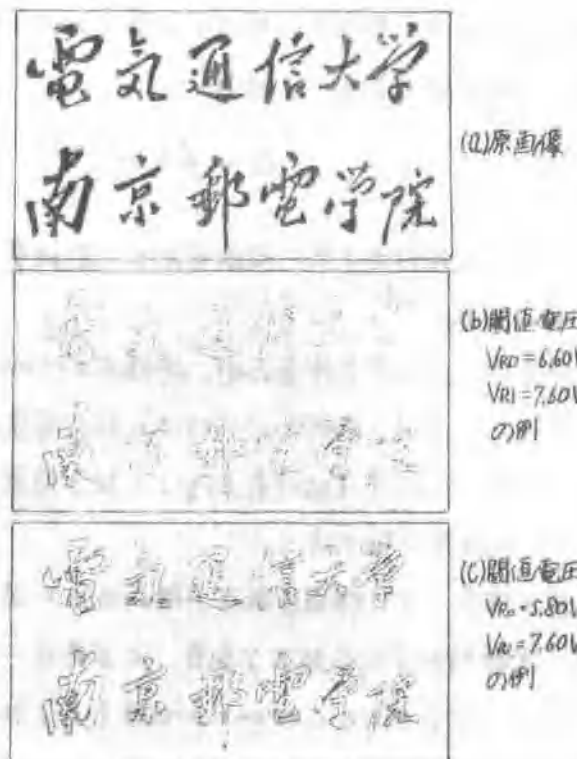


图 5. 图象轮廓抽出实例。

0.24 cm)。一般说，在可供选择的阈值范围内，对于阈值电压相差较大，则轮廓较粗，断续度更差一些。由于阈值的调节选择较为方便，故轮廓宽度之选择也较为方便。

2. 对于非二值图像，即有灰度的图像，使用本法，亦可得到相应的结果。算者曾以 4bit 的像素 (16 级灰度共级) 为例进行过实验，效果良好。关于有灰度的图像的轮廓抽出，将另行加以讨论。

3. 由于输入图像的阈值电压只能在一定范围内选择，才能使得输入图像有所谓的轮廓，因此，本法所用之图像轮廓，也只能在一定范围之内。一般来说，输入门槛电压的阈值范围在 $3.50 \text{ V} \sim 2.80 \text{ V}$ 之间，根据实验和计算机的检测，可得之轮廓宽度约在 $1 \sim 2.5 \text{ bit}$ (平均值)，也就是说，轮廓宽度约 $0.24 \sim 0.65 \text{ mm}$ 之间。

参考资料

- (1) Achiel Rosenfeld, Avinash C. Kak, Digital Picture Processing. 中译本 余林英等译, 人民邮电出版社, 1981. 9 P293
- (2) 長谷川 伸: 画像工学. (電子通信学会大講演会 J-5) 日本工口社 日8和58年版 P51~54.
- (3) 張懷政、長谷川 伸、諫防昭夫: 7PS3-29 x 10-14 + 14R = 22.4° - 9 - 1 在用一大画像处理. 日本電子通信学会技术研究報告 IE 85-75-25. 信学技報 Vol.85, No.188, P31-36.

DCT 和 DFT 的新算法

郑宝玉
(南京邮电学院)

一. 引言

DCT 不但是计算 DFT 的有力手段，而且其本身也有广泛用途，如用于图像编码领域 [4] 和 TDM-FDM 复用转换设备 [5], [6]。

常用的 DCT 有以下两种形式的变换：

$$Y(k) = \sum_{n=0}^{N-1} X(n) C_{2N}^{(2n+1)k} \quad k=0, \dots, N-1 \quad (1a)$$

$$X(n) = \sum_{k=0}^{N-1} Y(k) C_{2N}^{(2n+1)k} \quad n=0, \dots, N-1 \quad (1b)$$

分别称为 DCT 和 IDCT，或称为 DCT-I 和 DCT-II [8]，其中 $C_j^i = \cos \frac{\pi i}{j}$ 。

关于计算 (1a) 式的一种新算法，作者已在 [7] 中给出。本文将着重讨论计算 (1b) 的新方法，其特点是：

- 1) 当 $N=2^M$ 时，整个过程都是蝶式运算；
- 2) 当 $N=2^M \times P$ 时，(P 为奇数或 9)，其基本运算单元是蝶式运算和 P 点快速卷积运算。

在导出 DCT 新算法之后，文中还将该算法为基础构成一种高效的 FFT 新算法。

和现有的各种 DCT 和 FFT 算法相比，本算法无论在运算次数，还是结构模块化方面都是极富吸引力的。

二. DCT 新算法

1. 基本分解过程

现考虑 (1b) 式的计算。

类似于时间抽取的 FFT 算法，将 $Y(k)$ 分解为两组： $Y(2l)$ 和 $Y(2l+1)$ ， $l=0, \dots, \frac{N}{2}-1$ ，则

$$\begin{aligned} X(n) &= \sum_{l=0}^{N/2-1} Y(2l) C_{N/2}^{(n+\frac{1}{2})l} + \sum_{l=0}^{N/2-1} Y(2l+1) C_{N/2}^{(n+\frac{1}{2})(l+\frac{1}{2})} \\ X(N-1-n) &= \sum_{l=0}^{N/2-1} Y(2l) C_{N/2}^{(n+\frac{1}{2})l} - \sum_{l=0}^{N/2-1} Y(2l+1) C_{N/2}^{(n+\frac{1}{2})(l+\frac{1}{2})} \end{aligned} \quad (2)$$

令 $A(n) = \sum_{l=0}^{N/2-1} Y(2l) C_{N/2}^{(n+\frac{1}{2})l}$ $(3a)$

$$B(n) = \sum_{l=0}^{N/2-1} Y(2l+1) C_{N/2}^{(n+\frac{1}{2})(l+\frac{1}{2})} \quad n=0, 1, \dots, \frac{N}{2}-1 \quad (3b)$$

有
$$\left. \begin{array}{l} X(n) = A(n) + B(n) \\ X(N-1-n) = A(n) - B(n) \end{array} \right\} \quad n=0, \dots, \frac{N}{2}-1 \quad (4)$$

为了使结构更规则，现考虑改用“接续率抽取”两方法计算(3)式。

先考虑(3b)式的计算。对莫进行“速率抽取”分解得

$$\left. \begin{array}{l} B(2n-1) = \sum_{l=0}^{N/2-1} Y(2l+1) C_N^{(2l+1)(4n-1)} \quad n=1, \dots, N/2 \\ B(2n) = \sum_{l=0}^{N/2-1} Y(2l+1) C_N^{(2l+1)(4n+1)} \quad n=0, \dots, N/2-1 \end{array} \right\} \quad (5)$$

设
$$\left. \begin{array}{l} G_1(n) = [B(2n-1) + B(2n)]/2 \\ H_1(n) = [B(2n-1) - B(2n)]/2 \end{array} \right\} \quad n=0, \dots, N/4 \quad (6)$$

(其中 $B(-1)=0, B(N/2)=0$)，再利用三角恒等式：

$$\cos(\alpha \pm \beta) = \cos \alpha \cos \beta \mp \sin \alpha \sin \beta \quad (7)$$

得
$$\left. \begin{array}{l} G_1(n) = \sum_{l=0}^{N/2-1} (Y(2l+1) C_{2N}^{(2l+1)}) C_{N/2}^{(2l+1)n} \\ H_1(n) = \sum_{l=0}^{N/2-1} (Y(2l+1) S_{2N}^{(2l+1)}) S_{N/2}^{(2l+1)n} \end{array} \right\} \quad n=0, \dots, N/4 \quad (8)$$

[由于 $S_l^{\pm} = \sin(\pi l/2)$]，再利用三角函数的对称关系得

$$G_1(n) = \sum_{l=0}^{N/4-1} g_1(l) C_{N/4}^{(l+\frac{1}{2})n} \quad n=0, \dots, \frac{N}{4} \quad (9)$$

$$H_1(\frac{N}{4}-n) = \sum_{l=0}^{N/4-1} (-1)^l h_1(l) C_{N/4}^{(l+\frac{1}{2})n} \quad n=0, \dots, \frac{N}{4}$$

式中
$$\left[\begin{array}{c} g_1(l) \\ h_1(l) \end{array} \right] = \left[\begin{array}{cc} C_{2N}^{(2l+1)} & S_{2N}^{(2l+1)} \\ S_{2N}^{(2l+1)} & -C_{2N}^{(2l+1)} \end{array} \right] \left[\begin{array}{c} Y(2l+1) \\ Y(N-2l-1) \end{array} \right] \quad l=0, \dots, N/4-1 \quad (10)$$

(9) 式是 2 个标准的 $N/4$ 级 DCT-Ⅰ 变换，可用作者前不久写过的教材第(7)章计算。
按(9)、(10)式算出 $G_0(n)$, $H_0(n)$ 后，即可由(6)式得出 $B(2n-1)$ 和 $B(2n)$ 。

下面，我们再来考虑(2a)式的计算。

类似于上述的“频带抽取”分解，奏而得式 A(n)：

$$\begin{aligned} A(2n-1) &= G_0(n) + H_0(n) & n = 1, \dots, N/4 \\ A(2n) &= G_0(n) - H_0(n) & n = 0, \dots, N/4-1 \end{aligned} \quad (11)$$

其中 $G_0(n) = \sum_{\ell=0}^{N/4} g_0(\ell) C_{N/4}^{\ell n} \quad n = 0, \dots, N/4$

$$H_0(n) = \sum_{\ell=1}^{N/4-1} h_0(\ell) S_{N/4}^{\ell n} \quad n = 0, \dots, N/4 \quad (12)$$

分别称为 DCT-Ⅰ 和 DST-Ⅰ (I 型离散正弦变换)；而

$$\begin{pmatrix} g_0(\ell) \\ h_0(\ell) \end{pmatrix} = \begin{pmatrix} C_N^{\ell} & S_N^{\ell} \\ S_N^{\ell} & -C_N^{\ell} \end{pmatrix} \begin{pmatrix} Y(2\ell) \\ Y(N-2\ell) \end{pmatrix} \quad \ell = 0, \dots, N/4-1 \quad (13)$$

$$g_0(N/4) = Y(N/2) \cos(\pi/4), \text{ 其中 } Y(N) = 0.$$

由此可见，交替进行一次“时间抽取”和“频带抽取”分解后，得到了 4 个 $\frac{N}{4}$ 级 DCT 或 DST (19) 式和 (12) 式)，并附加某些蝶形运算 [(4), (6), (10), (11), (13)]，如图 1。

